



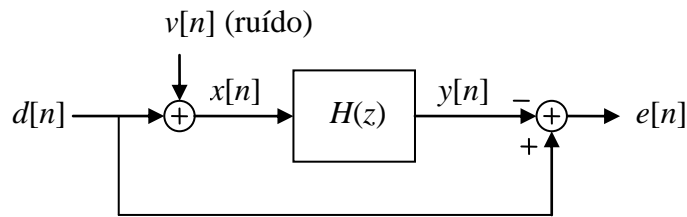
## Processamento Digital de Sinal

### Trabalho Prático Nº 13

#### Redução de Ruído por Filtragem Wiener na Frequência - Subtração Espectral

##### 1 - Descrição

Neste trabalho vamos experimentar uma técnica de redução de ruído baseada em filtragem de Wiener no domínio da frequência. A técnica de redução de ruído com filtragem temporal implica a determinação de um filtro ótimo, causal e estável, de acordo com o esquema da figura. A abordagem na frequência permite definir este filtro e a filtragem do sinal no domínio da frequência.



O sinal de entrada do filtro é  $x[n] = d[n] + v[n]$ , onde  $d[n]$  é o sinal desejado, mas é desconhecido porque está embebido no ruído  $v[n]$ . Apenas  $x[n]$  é conhecido. A equação genérica que define o problema é:

$$r_{dx}[k] = \sum_{m=-\infty}^{+\infty} h_m \cdot r_x[k-m] = h[k] * r_x[k]$$

Em termos do espectro de potência, temos

$$P_{dx}(e^{j\omega}) = H(e^{j\omega})P_x(e^{j\omega}) \Rightarrow H(e^{j\omega}) = \frac{P_{dx}(e^{j\omega})}{P_x(e^{j\omega})}.$$

Neste problema é essencial que  $d[n]$  não esteja correlacionado com o ruído, o que é verdade mesmo em situações práticas. Assim,  $r_{dx}[k] = E\{d[n+k](d[n] + v[n])^*\} = r_{dx}[k] + 0$ , pois  $r_{dv}[k] = 0$ . Também por isso  $r_x[k] = r_d[k] + r_v[k]$ , e, portanto,  $P_x(e^{j\omega}) = P_d(e^{j\omega}) + P_v(e^{j\omega})$ . O filtro de Wiener é então dado por:

$$H(e^{j\omega}) = \frac{P_d(e^{j\omega})}{P_x(e^{j\omega})} = \frac{P_d(e^{j\omega})}{P_d(e^{j\omega}) + P_v(e^{j\omega})} = \frac{P_d(e^{j\omega})/P_v(e^{j\omega})}{P_d(e^{j\omega})/P_v(e^{j\omega}) + 1} = \frac{SNR(e^{j\omega})}{SNR(e^{j\omega}) + 1}$$

onde  $SNR(e^{j\omega}) = P_d(e^{j\omega})/P_v(e^{j\omega})$  é a relação entre o espectro de potência do sinal com o ruído. Trata-se de uma relação real e positiva pois tendo  $P_d(e^{j\omega})$  como  $P_v(e^{j\omega})$  são densidades espectrais de potência, logo reais e positivas.

A filtragem consiste então em obter  $Y(e^{j\omega}) = H(e^{j\omega})X(e^{j\omega})$ , aplicando um "peso" entre 0 e 1 a  $X(e^{j\omega})$ , para cada valor de frequência, consoante a relação sinal-ruído a essa frequência. Se  $SNR(e^{j\omega})$  for elevada, esse peso será próximo de 1, se for baixa, será próximo de zero.

O problema reduz-se agora à determinação da relação sinal ruído. Para isso é necessário **estimar** a potência do **sinal**  $P_d(e^{j\omega})$ , que chamaremos  $\hat{P}_d(e^{j\omega})$ , bem como **estimar** a potência do **ruído**,  $\hat{P}_v(e^{j\omega})$ . A técnica usual é o método da **Subtração Espectral**:

$$\hat{P}_d(e^{j\omega}) = P_x(e^{j\omega}) - \hat{P}_v(e^{j\omega})$$



## Processamento Digital de Sinal

### Trabalho Prático Nº 13

#### Redução de Ruído por Filtragem Wiener na Frequência - Subtração Espectral

A estimação do ruído pode ser conseguida nos intervalos de tempo em que sabemos (assumimos) que  $d[n]=0$ , e, portanto,  $x[n]=v[n]$ . No caso de sinais de fala, corresponde aos intervalos onde o locutor faz pausas.

No entanto, existe um problema:  $\hat{P}_d(e^{j\omega})$  tem de ser sempre positiva, o que não é garantido na equação anterior com a diferença  $P_x(e^{j\omega}) - \hat{P}_v(e^{j\omega})$ . Utiliza-se então a seguinte técnica:

$$\hat{P}_d(e^{j\omega}) = \begin{cases} P_x(e^{j\omega}) - \hat{P}_v(e^{j\omega}) & , \text{ se } P_x(e^{j\omega}) - \hat{P}_v(e^{j\omega}) > \alpha P_x(e^{j\omega}) \\ \alpha P_x(e^{j\omega}) & , \text{ se } P_x(e^{j\omega}) - \hat{P}_v(e^{j\omega}) \leq \alpha P_x(e^{j\omega}) \end{cases}$$

ou

$$\hat{P}_d(e^{j\omega}) = \max\left(P_x(e^{j\omega}) - \hat{P}_v(e^{j\omega}), \alpha P_x(e^{j\omega})\right), \quad (1)$$

onde  $\alpha$  é uma constante. Por exemplo, se  $\alpha=0.01$  (-40dB), significa que tomamos uma estimativa do sinal que é no mínimo 40 dB inferior à do sinal com ruído.

Mostra-se que fazer  $\hat{P}_d(e^{j\omega})=0$  se a diferença for negativa (retificador de meia-onda), conduz a efeitos indesejáveis (ruído musical).

O filtro de Wiener estimado corresponde então à relação:

$$H(e^{j\omega}) = \frac{\hat{P}_d(e^{j\omega})}{\hat{P}_d(e^{j\omega}) + \hat{P}_v(e^{j\omega})}. \quad (2)$$

que é sempre real, positivo, e entre 0 e 1. Finalmente, obtém-se o sinal melhorado a partir de:

$$Y(e^{j\omega}) = H(e^{j\omega})X(e^{j\omega}) \quad (3)$$

Uma vez que  $H(e^{j\omega})$  é real e positivo,  $Y(e^{j\omega})$  tem a mesma fase de  $X(e^{j\omega})$ .

#### Questões práticas:

1. Cálculo do espectro de potência do sinal  $x[n]$ ,  $P_x(e^{j\omega})$ : Uma vez que as propriedades do sinal variam no tempo, temos de usar o periodogramas ao longo do tempo. Neste caso usaremos tramas (ou segmentos do sinal) de 30 ms de 10 em 10 ms e estimativas obtidas com o periodograma modificado, usando a janela de Hamming.

Em vez de espectros de potência, vamos usar apenas o módulo das DFTs das tramas para as frequências da DFT,  $\omega_k = k \frac{2\pi}{N_{\text{fft}}}$ ,  $k=0..N_{\text{fft}}-1$ , onde  $N_{\text{fft}}$  é o comprimento da DFT. Neste caso basta tomar  $N_{\text{fft}} \geq N$  onde  $N$  é o comprimento da janela.

2. Uma vez que  $H(e^{j\omega})$  é real e positivo, a fase do sinal  $Y(e^{j\omega})$  é igual à fase do sinal de  $X(e^{j\omega})$ . Para calcular  $H(e^{j\omega})$  poderíamos fazer os cálculos apenas com o módulo e só depois aplicar a fase na equação (3), mas neste não nos vamos preocupar com questões de eficiência.



## Processamento Digital de Sinal Trabalho Prático Nº 13

### Redução de Ruído por Filtragem Wiener na Frequência - Subtração Espectral

3. Síntese do sinal no tempo: usamos o método "overlap-add", isto é a soma com sobreposição das tramas de sinal obtidas a partir da transformada inversa de  $Y(e^{j\omega})$ . Será instrutivo ver o resultado da soma das janelas com sobreposição (quando  $x[n]=1, \forall n$ ) para ver que esta soma com sobreposição um pequeno ripple mas que o valor DC é o que foi calculado.

## 2 - Trabalho Prático

### 2.1 Cálculo Espectral

Leia o sinal fornecido 'PT3.wav'. Note que existem dois canais de áudio. Processe apenas um ou cada um dos canais separadamente. Considere o seguinte código:

```
[xx,fs]=audioread('PT3.wav');
Nx = size(xx,1)      %duração do sinal em amostras
ncanais = size(xx,2) %dois canais

x = xx(:,1); %canal esquerdo; um canal de cada vez; noutro passo tomar xx(:,2).
N = fix(fs*0.03) %tamanho das tramas
M = fix(fs*0.01) %avanço da janela de análise
Ntramas = fix((Nx-N)/M)+1 %nº de tramas de N amostras com avanço de M
jan = hamming(N); %janela de Hamming (uma coluna)
dcsomajan = sum(jan)/M; %fator ou ganho da soma com sobreposição das janelas.
alfa = 0.01; %-40dB

Nfft = 2^nextpow2(N); %tamanho das DFTs: 2048
X = zeros(Nfft,Ntramas); %espaço para as DFTs, uma por cada coluna
E = zeros(1,Ntramas); %espaço para a energia das tramas
i=1; %início da 1a trama
j=N; %fim da 1a trama
for m=1:Ntramas
    trama = x(i:j).*jan; %a trama m
    Xtrama = fft(trama,Nfft); %a DFT da trama m com Nfft pontos.
    X(:,m) = ???;% guardar a DFT em vez do periodograma.
    E(m) = sqrt(sum(trama.^2)); % raiz quadrada da energia da trama m
    i=i+M; %avançar M amostras para a próxima trama.
    j=j+M; %avançar M amostras para a próxima trama.
end
% mostrar o sonograma do sinal, só acima de alfa dBs:
f=(0:Nfft/2)/Nfft*fs; %vetor de frequências em Hz para o sonograma
figure(1), imagesc(1:Ntramas,f,max(db(X(1:Nfft/2+1,:)),db(alfa))), axis xy
figure(2), plot(1:Ntramas,db(E)), grid on %energia em dB (ou 10*log10(E^2))
```

### 2.2 Estimativa do ruído

Analise o sonograma e veja se consegue descobrir uma risca horizontal perto dos 10kHz e outra perto dos 8kHz. Verifique também (observando o sinal no tempo) que existe uma forte componente a 50



## Processamento Digital de Sinal Trabalho Prático Nº 13

### Redução de Ruído por Filtragem Wiener na Frequência - Subtração Espetral

Hz e outra a cerca de 150 Hz. Pelo gráfico da figura 2 pode observar que a estimação de ruído pode ser efetuada quando a energia das tramas está abaixo de um dado limiar (locutor em pausa). Escolha esse limiar.

Estime o ruído a partir das tramas que verificam essa condição. Isto é, em primeiro lugar determine quais as tramas onde  $E$  é inferior ao limiar: `i=find(db(E)<limiar)`. Depois faça a média (na 2ª dimensão) de `abs(X(:,i))` (médias das `length(i)` colunas `i`) e chame-lhe `Xv_est`. Faça um plot de `Xv_est`, onde devem ser visíveis os picos nas frequências das riscas identificadas:

```
figure(3)
plot(f,db(Xv_est(1:Nfft/2+1))),grid
```

### 2.3 Subtração Espetral:

A estimativa do ruído é tomada assumindo que o ruído se mantém ao longo deste sinal. Daí que temos apenas um valor para cada frequência. Em vez de  $P_x(e^{j\omega})$  vamos usar  $|X(e^{j\omega})|$ :

```
Xx = abs(X); %nos Nfft valores (duplicado de pi a 2*pi: plot(Xx))
Xd_est = max( Xx - Xv_est , alfa*Xx); %subtração espectral (não linear): Eq. 1
figure(2), imagesc(1:Ntramas,f,db(max(Xd_est(1:Nfft/2+1,:),alfa))), axis xy
colorbar
```

### 2.4 Filtro de Wiener

Calcule o filtro de Wiener (equação (2)) usando `Xd_est` e `Xv_est` em vez dos espectros de potência. Depois aplique a equação (3) a `X` (que tem valores complexos):

```
%filtro de Wiener:
H = Xd_est.^2./(Xd_est.^2 + Xv_est.^2); %com |X|^2; não é necessário dividir por N
size(H) %deve ter a mesma dimensão de X
isreal(H) %é real?
Y = H.*X; % espectro da saída (sinal melhorado)
figure(1), imagesc(1:Ntramas,f,max(db(X(1:Nfft/2+1,:)), -60)), axis xy, colorbar
figure(2), imagesc(1:Ntramas,f,max(db(Y(1:Nfft/2+1,:)), -60)), axis xy, colorbar
```

Compare a figura 1 (sonograma original) com a figura 2 (sonograma do sinal melhorado) e verifique a melhoria conseguida. Faça zoom e note que as componentes de baixa frequência foram (porventura demasiado) atenuadas.

### 2.5 Síntese do sinal

Faça a IDFT das tramas `Y` e divida pela média da soma das janelas:

```
y = real(ifft(Y))/dcsomajan; %tramas para OLA (overlap-add)
size(y) %Nfft valores por trama. Tomar apenas os 1ºs N valores de cada trama.
figure(3), plot(y(:,140)) %Exemplo.
```

## Processamento Digital de Sinal Trabalho Prático Nº 13

### Redução de Ruído por Filtragem Wiener na Frequência - Subtração Espectral

Agora basta voltar ao sinal temporal com o método "overlap add - OLA".

Nota: os valores das tramas  $y$  de  $N+1$  até  $N_{fft}$  vão ser desprezadas.

```
%% overlap-add
yy=zeros(N+(Ntramas-1)*M,1); %espaço suficiente para o resultado
i=1; j=N;
for m=1:Ntramas
    yy(i:j)=yy(i:j)+y(1:N,m); %soma com sobreposição de N-M=882 amostras.
    i=????;
    j=????;
end
soundsc(yy,fs)
figure(3), plot(yy)
%A partir desta figura diga se o sinal foi ou não melhorado.

%Pode experimentar o resultado da soma das janelas com sobreposição
% fazendo no ciclo anterior y=jan (equivale a fazer x[n]=1):
yy(i:j)=yy(i:j)+jan;
```

Faça um plot do resultado e veja o pormenor das 1<sup>as</sup> janelas a serem sobrepostas e depois o ripple

periódico de período  $M$ , com valor DC  $dcsomajan$ :  $a_0 = \frac{1}{M} H(e^{j0}) = \frac{1}{M} \sum_{n=0}^{N-1} h[n]$ .

No final da aula entregue o script que produziu, na “Submissão de Trabalhos” do Nónio.